

УДК 681.51

## КОМБИНИРОВАННОЕ НЕЛИНЕЙНОЕ УПРАВЛЕНИЕ СИСТЕМОЙ ПЕРЕВЁРНУТЫХ МАЯТНИКОВ ПРИ ОГРАНИЧЕНИИ УПРАВЛЯЮЩИХ СИГНАЛОВ

© Е. Л. Ерёмин<sup>1</sup>, Л. В. Никифорова<sup>1</sup>, Е. А. Шеленок<sup>2</sup>

<sup>1</sup>Амурский государственный университет,  
675000, г. Благовещенск, Игнатьевское шоссе, 21

<sup>2</sup>Тихоокеанский государственный университет,  
680035, г. Хабаровск, ул. Тихоокеанская, 136  
E-mail: 007141@pmu.edu.ru

С использованием критерия гиперустойчивости, быстродействующих фильтров-корректоров и неявной эталонной модели в условиях ограничений управляющих воздействий и априорной параметрической неопределённости рассматривается решение задачи синтеза системы комбинированного управления перевёрнутыми маятниками, соединёнными пружиной. С помощью вычислительных экспериментов исследуется качество работы предложенной системы децентрализованного управления.

*Ключевые слова:* комбинированный регулятор, априорная неопределённость, механическая система, критерий гиперустойчивости,  $L$ -диссипативность, фильтр-корректор, неявная эталонная модель.

DOI: 10.15372/AUT20210409

**Введение.** Одними из самых актуальных проблем современной теории и практики автоматического управления являются анализ и синтез крупномасштабных систем для сложных механических объектов. Основная сложность разработки алгоритмов управления подобными системами заключается в отсутствии физической возможности использования внутренней информации локальных подсистем в других подсистемах. В данной ситуации наиболее целесообразным способом проектирования законов управления является так называемое децентрализованное управление, при котором синтезируются отдельные контуры управления, использующие информацию из своих локальных подсистем [1–3]. Основной областью применения децентрализованных систем является управление различными механическими системами, к которым относятся: роботы-манипуляторы, системы перевёрнутых маятников, автоматизированные дорожные системы, механические компоненты энергетических объектов и др. [4–6]. При этом задачи синтеза алгоритмов дополнительно усложняются, если в объекте управления присутствуют входные ограничения, обусловленные их конструктивными особенностями либо особенностями среды функционирования [7, 8].

В данной работе с использованием результатов [9–12] рассматривается новое решение задачи синтеза комбинированного нелинейного алгоритма управления системой перевёрнутых маятников с ограничениями управляющих воздействий.

**Математическая модель объекта управления.** Рассматривается механическая система, состоящая из двух идентичных по исполнению перевёрнутых маятников, соединённых пружиной (рис. 1).

Известно [6], что математическое описание подобных многосвязных систем в общем случае представимо в виде

$$M_i(q_i)\ddot{q}_i + C_i(q_i, \dot{q}_i)\dot{q}_i + g_i(q_i) + Z_i(q, \dot{q}) + D_i(q_i, \dot{q}_i) = \sigma_i(u_i),$$

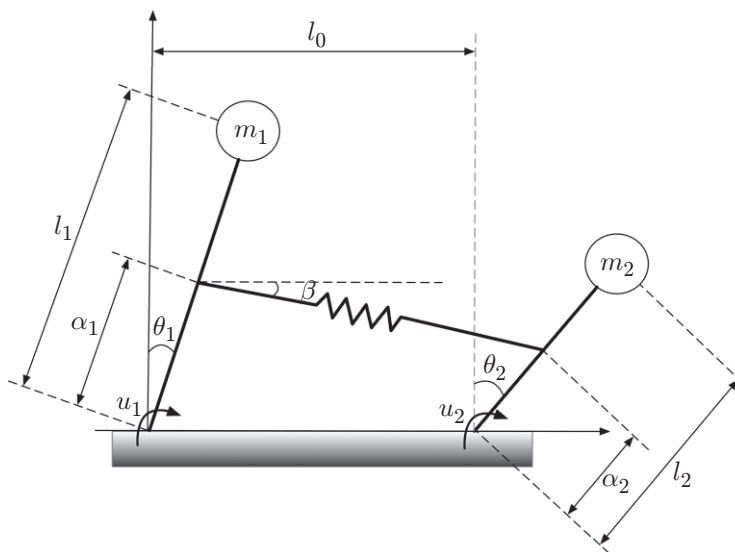


Рис. 1. Система перевёрнутых маятников

где  $q_i \in \mathbb{R}^{n_i}$  — вектор обобщённых координат  $i$ -й подсистемы,  $i = 1, 2, \dots$ ;  $M_i(q_i)$  — матрица инерции размера  $n_i \times n_i$ ;  $C_i(q_i, \dot{q}_i)\dot{q}_i$  — матрица кориолисовых и центробежных сил;  $g_i(q_i)$  — потенциальная энергия подсистем;  $\sigma_i(u_i)$  — нелинейные функции насыщения:

$$\sigma_i(u_i) = \begin{cases} \sigma_{0i}, & u_i > \sigma_{0i}, \\ u_i, & |u_i| \leq \sigma_{0i}, \\ -\sigma_{0i}, & u_i < -\sigma_{0i}; \end{cases}$$

$u_i$  — управляющие воздействия,  $i = 1, 2$ ;  $Z_i(q, \dot{q})$  — нелинейные функции, описывающие перекрёстные связи между подсистемами;  $D_i(q_i, \dot{q}_i)$  — функции, описывающие действующие на каждую подсистему возмущения. Математическую модель представленной на рис. 1 системы по аналогии с [6] можно записать с помощью уравнений

$$\begin{aligned} m_1 l_1^2 \ddot{\theta}_1 - m_1 g l_1 \sin(\theta_1) &= \sigma_1(u_1) - b_1 \dot{\theta}_1 + Q \alpha_1 \cos(\theta_1 - \beta), \\ m_2 l_2^2 \ddot{\theta}_2 - m_2 g l_2 \sin(\theta_2) &= \sigma_2(u_2) - b_2 \dot{\theta}_2 - Q \alpha_2 \cos(\theta_2 - \beta), \end{aligned} \quad (1)$$

где  $q_i = \theta_i$ ;  $M_i = m_i l_i^2$ ;  $C_i = 0$ ;  $g_i = -m_i g l_i \sin(\theta_i)$ ;  $Z_i = (-1)^i Q \alpha_i \cos(\theta_i - \beta)$ ;  $D_i = b_i \dot{\theta}_i$ ;  $b_1, b_2$  — коэффициенты демпфирования;

$$Q = k[1 + A^2(l_k - l_0)^2](l_k - l_0); \quad |A(l_k - l_0)| < 1;$$

$$\beta = \arctan \left( \frac{\alpha_1 \cos(\theta_1) - \alpha_2 \cos(\theta_2)}{l_0 - \alpha_1 \sin(\theta_1) + \alpha_2 \sin(\theta_2)} \right); \quad (2)$$

$$l_k = \sqrt{(l_0 + \alpha_2 \sin(\theta_2) - \alpha_1 \sin(\theta_1))^2 + (\alpha_1 \cos(\theta_1) - \alpha_2 \cos(\theta_2))^2}.$$

Вводя в рассмотрение векторы локальных переменных состояния для каждой отдельной подсистемы (маятника)  $\mathbf{x}_i(t) = [x_{1i}(t), x_{2i}(t)]^\top = [\theta_i, \dot{\theta}_i]^\top$ , с помощью ряда преобразований модель системы маятников (1), (2) запишем в форме вход-выход:

$$y_i(t) = W_i(p)\{\sigma_i(u_i(t)) + f_i(\mathbf{x}_i(t)) + F_i(\mathbf{x}_i(t), \mathbf{x}_j(t))\}; \quad i, j = 1, 2, \quad i \neq j, \quad (3)$$

где  $p = d/dt$  — оператор дифференцирования;  $y_i(t)$  — выходные сигналы локальных подсистем;  $W_i(p)$  — передаточные функции линейных частей локальных подсистем;  $\mathbf{x}_i(t) = [x_{1i}(t), x_{2i}(t)]^\top = [\theta_i, \dot{\theta}_i]^\top$  — векторы переменных состояния локальных подсистем;  $f_i(\mathbf{x}_i(t)) = J_i^{-1}[m_i g l_i \sin(x_{1i}(t)) - b_i x_{2i}(t)]$  — сигнал возмущающих воздействий;  $F_i(\mathbf{x}_i(t), \mathbf{x}_j(t)) = (-1)^i Q \alpha_i \cos(x_{1i}(t) - \beta)$  — перекрёстные связи.

Будем полагать, что работа объекта управления (3) протекает при следующих допущениях:

1) возмущения и нелинейные перекрёстные связи удовлетворяют неравенствам

$$|f_i(\mathbf{x}_i(t))| \leq f_{0i}, \quad f_{0i} = \text{const}, \quad \forall \mathbf{x}_i(t) \neq 0, \quad (4)$$

$$|F_i(\mathbf{x}_i(t), \mathbf{x}_j(t))| \leq F_{0i}, \quad F_{0i} = \text{const}, \quad \forall \mathbf{x}_i(t), \quad \mathbf{x}_j(t) \neq 0, \quad i \neq j, \quad (5)$$

где  $f_{0i}$  и  $F_{0i}$  — неизвестные величины;

2) числовые параметры возмущений и перекрёстных связей являются априори неопределёнными и удовлетворяют соотношениям

$$f_i(\mathbf{x}_i(t)) = f_{\xi i}(\mathbf{x}_i(t)), \quad F_i(\mathbf{x}_i(t), \mathbf{x}_j(t)) = F_{\xi i}(\mathbf{x}_i(t), \mathbf{x}_j(t)),$$

где  $\xi$  — неизвестный набор параметров, входящих в состав известного ограниченного числового множества  $\Xi$ ;

3) передаточные функции линейных звеньев локальных подсистем описываются в виде

$$W_i(p) = 1/a_i(p), \quad a_i(p) = p^2 + a_{1i}p + a_{2i}, \quad i = 1, 2,$$

где  $a_i(p)$  — нормированный полином с неизвестными числовыми коэффициентами и произвольным распределением корней;

4) для непосредственного измерения доступны только выходы локальных подсистем  $y_i(t)$ .

С учётом особенностей рассматриваемого объекта пропустим измеряемые сигналы локальных подсистем  $y_i(t)$  через выходные фильтры-корректоры (ВФК) [10]

$$y_{Fi}(t) = W_{Fi}(p)y_i(t) = \frac{T_i p + 1}{T_i^* p + 1} y_i(t), \quad i = 1, 2, \quad (6)$$

где  $y_{Fi}(t)$  и  $y_i(t)$  — соответственно выходные и входные сигналы;  $W_{Fi}(p)$  — передаточные функции фильтров-корректоров;  $T_i, T_i^*$  — постоянные времени фильтров, причём значение  $T_i^*$  мало. В этом случае модель последовательного соединения объекта управления и фильтра-корректора (6) в форме вход-выход будет иметь вид

$$\begin{aligned} y_{Fi}(t) &= W_{Fi}(p)W_i(p)\{\sigma_i(u_i(t)) + f_i(\mathbf{x}_i(t)) + F_i(\mathbf{x}_i(t), \mathbf{x}_j(t))\} = \\ &= \frac{\tilde{b}_i(p)}{\tilde{a}_i(p)} \{\sigma_i(u_i(t)) + f_i(\mathbf{x}_i(t)) + F_i(\mathbf{x}_i(t), \mathbf{x}_j(t))\}, \\ \tilde{b}_i(p) &= T_i p + 1, \quad \tilde{a}_i(p) = a_i(p)(T_i^* p + 1), \quad i, j = 1, 2, \quad i \neq j. \end{aligned} \quad (7)$$

Реальному произведению передаточных функций  $\tilde{W}_i(p) = W_{F_i}(p)W_i(p)$  всегда можно поставить в соответствие их «виртуальное» произведение

$$\tilde{W}_i(p) = \frac{b_i(p)}{a_i(p)} \frac{T_i p + 1}{T_i^* p + 1} = \frac{\tilde{b}_i(p)}{a_i(p)} \frac{1}{T_i^* p + 1} = \hat{W}_i(p) \frac{1}{T_i^* p + 1}, \quad i = 1, 2.$$

Как показано, например, в [9], за счёт выбора малых значений параметров  $T_i^*$  допустимо заменить модель (7) следующей моделью:

$$y_{F_i}(t) \cong \frac{\tilde{b}_i(p)}{a_i(p)} y_i(t) = \hat{W}_i(p) \{ \sigma_i(u_i(t)) + f_i(\mathbf{x}_i(t)) + F_i(\mathbf{x}_i(t), \mathbf{x}_j(t)) \}, \quad \tilde{b}_i(p) = T_i p + 1,$$

или эквивалентной моделью в форме вход-состояние-выход:

$$\frac{d\mathbf{x}_i(t)}{dt} = \mathbf{N}_i \mathbf{x}_i(t) + \mathbf{b}_i \{ \mathbf{a}_i^\top \mathbf{x}_i(t) + \sigma_i(u_i(t)) + f_i(\mathbf{x}_i(t)) + F_i(\mathbf{x}_i(t), \mathbf{x}_j(t)) \},$$

$$y_{F_i}(t) = \mathbf{c}_i^\top \mathbf{x}_i(t), \quad x_i(t_0) = x_{i0}, \quad t \geq t_0 = 0, \quad i, j = 1, 2, \quad i \neq j, \quad (8)$$

где  $\mathbf{x}_i(t) = [x_{1i}(t), x_{2i}(t)]^\top$  — векторы переменных состояния локальных подсистем;  $\mathbf{N}_i$  — нильпотентные матрицы размера  $2 \times 2$ ;  $\mathbf{b} = [0, 1]^\top$  — стационарные векторы;  $\mathbf{a}_i^\top = [a_{2i}, a_{1i}]$  и  $\mathbf{c}_i^\top = [\tilde{b}_{1i}, \tilde{b}_{0i}] = [1, T_i]$  — стационарные векторы с соответствующими коэффициентами.

**Цели управления и эталонные модели.** Определим основную цель управления как высокоточное слежение выходов локальных подсистем  $y_i(t)$  объекта управления (1)–(3), (8) за сигналами  $r_i(t)$ , задающими требуемое угловое смещение каждого маятника:

$$\lim_{t \rightarrow \infty} |r_i(t) - y_i(t)| \leq \Delta_{ri}, \quad \Delta_{ri} = \text{const}, \quad (9)$$

где  $\Delta_{ri}$  — малые относительно соответствующих максимальных значений задающих сигналов величины (требуемая точность слежения).

Если требуемую динамику выходов основных локальных контуров управления  $y_{F_i}(t)$  по аналогии с [9, 10] задать за счёт использования задающих фильтров-корректоров (ЗФК)

$$\hat{r}_i(t) = W_{F_i}(p)r_i(t) = \frac{T_i p + 1}{T_i^* p + 1} r_i(t), \quad (10)$$

где  $r_i(t)$  — некоторые дополнительные командные сигналы, то для рассматриваемого объекта можно сформулировать дополнительную цель управления: требуется синтезировать явный вид закона управления

$$u_i(t) = u_i(y_{F_i}(t), \hat{r}_i(t)), \quad (11)$$

обеспечивающего при наличии возмущений (4) и нелинейных перекрёстных связей (5), а также при измерении только выходных сигналов  $y_i(t)$  выполнение целей

$$|y_i^*(t) - y_{F_i}(t)| \cong |\hat{r}_i(t) - y_{F_i}(t)| \leq \hat{\Delta}_{ri}, \quad \hat{\Delta}_{ri} = \text{const}, \quad (12)$$

где  $\hat{\Delta}_{ri}$  — малая величина;  $y_i^*(t)$  — выходы неявной эталонной модели (НЭМ):

$$y_i^*(t) = \frac{1}{\chi_{*i}^{-1} p + 1} \hat{r}_i(t) = \frac{\chi_{*i}}{p + \chi_{*i}} \hat{r}_i(t), \quad \chi_{*i} = \text{const} > 0, \quad (13)$$

которую при  $\chi_{*i} \gg 0$  допустимо представить в виде  $y_i^*(t) \cong \hat{r}_i(t)$  [9, 10]. При этом для решения задачи синтеза закона управления вместо математической модели НЭМ (13) целесообразно использовать её аналог:

$$y_i^*(t) = \frac{\chi_{*i} \tilde{b}_i(p) \tilde{b}_{1i}}{(p + \chi_{*i}) \tilde{b}_i(p) \tilde{b}_{1i}} \hat{r}_i(t) = \frac{\hat{\chi}_{*i} \tilde{b}_i(p) \tilde{b}_{1i}^{-1}}{(p + \chi_{*i}) \tilde{b}_i(p)} \hat{r}_i(t), \quad \hat{\chi}_{*i} = \chi_{*i} \tilde{b}_{1i},$$

который в форме вход-состояние-выход запишем в виде следующих уравнений:

$$\frac{d\mathbf{x}_i^*(t)}{dt} = \mathbf{A}_i^* \mathbf{x}_i^*(t) + \mathbf{b}_i \hat{\chi}_{*i} \hat{r}_i(t); \quad (14)$$

$$y_i^*(t) = \mathbf{c}_i^\top \mathbf{x}_i^*(t), \quad \mathbf{x}_i^*(t_0) = 0, \quad t \geq t_0 = 0, \quad i = 1, 2,$$

где  $\mathbf{x}_i^*(t) = [x_{1i}^*(t), x_{2i}^*(t)]^\top$ ;  $\mathbf{A}_i^* = \mathbf{N}_i + \mathbf{b}_i \mathbf{a}_{*i}^\top = \mathbf{N}_i + \mathbf{b}_i (\mathbf{a}_i - \chi_{*i} \mathbf{c}_i)^\top$  — гурвицевы матрицы;  $\chi_{*i}, \hat{\chi}_{*i} = \text{const} \gg 0$  — большие числа;  $\mathbf{a}_{*i}^\top = (\mathbf{a}_i - \chi_{*i} \mathbf{c}_i)^\top = [a_{*2i}, a_{*1i}] = [a_{2i} - \chi_{*i} \tilde{b}_{1i}, a_{1i} - \chi_{*i} \tilde{b}_{0i}]$  — вектор с заданными коэффициентами.

**Синтез комбинированного алгоритма управления.** Рассмотрим вектор отклонений переменных состояния НЭМ (14) и объекта управления с ВФК (8)  $\mathbf{e}_i(t) = \mathbf{x}_i^*(t) - \mathbf{x}_i(t)$  и запишем эквивалентную математическую модель рассматриваемой системы в следующем виде:

$$\frac{d\mathbf{e}_i(t)}{dt} = \mathbf{A}_{*i} \mathbf{e}_i(t) + \mathbf{b}_i \mu_i(t); \quad v_i(t) = \mathbf{c}_i^\top \mathbf{e}_i(t) = y_i^*(t) - y_{Fi}(t) = \hat{r}_i(t) - y_{Fi}(t), \quad (15)$$

$$\mu_i(t) = \hat{\chi}_{*i} \hat{r}_i(t) - \chi_{*i} y_{Fi}(t) - u_i(t) - [\sigma_i(u_i(t)) - u_i(t)] - f_i(\mathbf{x}_i(t)) - F_i(\mathbf{x}_i(t), \mathbf{x}_j(t)),$$

где  $v_i(t)$  и  $\mu_i(t)$  — видоизменённые сигналы выходов и сигналы управляющих воздействий соответственно. Согласно методике критерия гиперустойчивости [9–11] для эквивалентной системы (15) необходимо выполнить два условия:

$$\text{Re} [\mathbf{c}_i(j\omega \mathbf{E}_i - \mathbf{A}_i^*)^{-1} \mathbf{b}_i] > 0, \quad \forall \omega \geq 0, \quad (16)$$

$$\eta_i(0, t) = - \int_0^t \mu_i(\varsigma) v_i(\varsigma) d\varsigma \geq -\eta_{0i}, \quad \eta_{0i} = \text{const}, \quad \forall t > 0, \quad i = 1, 2, \quad (17)$$

где  $\mathbf{E}_i$  — единичные матрицы размера  $2 \times 2$ . Справедливость частотного условия (16) является очевидной, поскольку передаточная функция линейной части системы (15) имеет вид

$$W_i(s) = \mathbf{c}_i (s \mathbf{E}_i - \mathbf{A}_i^*)^{-1} \mathbf{b}_i = \frac{1}{\chi_{*i}^{-1} s + 1}$$

( $s$  — комплексная переменная). Поэтому требуется определить условия, которые обеспечат выполнение интегральных неравенств (17). Учитывая вид сигналов  $\mu_i(t)$  из (15),

а также определяя сигнал управления как  $u_i(t) = \sum_{d=1}^3 u_{di}(t)$ , перепишем левые части неравенства (17):

$$\eta_i(0, t) = \left( \int_0^t u_{i1}(\varsigma) v_i(\varsigma) d\varsigma - \int_0^t \hat{\chi}_{*i} \hat{r}_i(\varsigma) v_i(\varsigma) d\varsigma \right) + \left( \int_0^t u_{i2}(\varsigma) v_i(\varsigma) d\varsigma + \int_0^t \chi_{*i} y_{Fi}(\varsigma) v_i(\varsigma) d\varsigma \right) +$$

$$\begin{aligned}
 & + \left( \int_0^t u_{i3}(\varsigma)v_i(\varsigma) d\varsigma + \int_0^t [f_i(\mathbf{x}_i(\varsigma)) + F_i(\mathbf{x}_i(\varsigma), \mathbf{x}_j(\varsigma))]v_i(\varsigma) d\varsigma \right) + \\
 & + \int_0^t [\sigma_i(u_i(\varsigma)) - u_i(\varsigma)]v_i(\varsigma) d\varsigma = \sum_{d=1}^3 \eta_{di}(0, t) + \int_0^t [\sigma_i(u_i(\varsigma)) - u_i(\varsigma)]v_i(\varsigma) d\varsigma. \quad (18)
 \end{aligned}$$

Синтезируем составляющую

$$u_{1i}(t) = h_{11i}\hat{r}_i(t) \int_0^t \hat{r}_i(\varsigma)v_i(\varsigma)\tilde{\delta}_i(\varsigma) d\varsigma + h_{12i}\hat{r}_i^2(t)v_i(t)\tilde{\delta}_i(t), \quad i = 1, 2, \quad (19)$$

где  $h_{11i}, h_{12i} = \text{const} > 0$ ;  $\tilde{\delta}_i(t)$  — выходы динамических переключателей:

$$\tau_i \frac{d\tilde{\delta}_i(t)}{dt} + \tilde{\delta}_i(t) = \delta_i(t), \quad \tilde{\delta}_i(0) = 0, \quad \delta_i(t) = \begin{cases} 1, & \forall [\sigma_i(u_i(t)) - u_i(t)]v_i(t) \geq 0; \\ \delta_{0i}, & \forall [\sigma_i(u_i(t)) - u_i(t)]v_i(t) < 0, \end{cases} \quad (20)$$

здесь  $\tau_i = \text{const} > 0$ ;  $\delta_i(t)$  — функции переключения;  $0 < \delta_{0i} < 1$  — масштабирующие коэффициенты. Тогда интеграл  $\eta_{1i}(0, t)$  из (18) с учётом  $\tilde{\delta}_i(t) \geq \delta_{0i}$  можно оценить следующим образом:

$$\begin{aligned}
 \eta_{1i}(0, t) & = h_{11i} \int_0^t \hat{r}_i(\varsigma)v_i(\varsigma) \int_0^\varsigma \hat{r}_i(\zeta)v_i(\zeta)\tilde{\delta}_i(\zeta) d\zeta d\varsigma + \\
 & + h_{12i} \int_0^t \hat{r}_{2i}(\varsigma)v_i^2(\varsigma)\tilde{\delta}_i(\varsigma) d(\varsigma) - \int_0^t \hat{\chi}_{*i}\hat{r}_i(\varsigma)v(\varsigma) d\varsigma \geq \\
 & \geq h_{11i}\delta_{0i} \int_0^t \hat{r}_i(\varsigma)v_i(\varsigma) \int_0^\varsigma \hat{r}_i(\zeta)v_i(\zeta) d\zeta d\varsigma + h_{12i}\delta_{0i} \int_0^t [\hat{r}_i(\varsigma)v_i(\varsigma)]^2 d\varsigma - \int_0^t \hat{\chi}_{*i}\hat{r}_i(\varsigma)v(\varsigma) d\varsigma \geq \\
 & \geq \frac{h_{11i}\delta_{0i}}{2} \left( \int_0^t \hat{r}_i(\varsigma)v_i(\varsigma) d\varsigma \right)^2 - \hat{\chi}_{*i} \int_0^t \hat{r}_i(\varsigma)v(\varsigma) d\varsigma \pm \frac{\hat{\chi}_{*i}^2}{2h_{11i}\delta_{0i}} \geq \\
 & \geq -\frac{\hat{\chi}_{*i}^2}{2h_{11i}\delta_{0i}} = -\eta_{01i}^2, \quad \eta_{01i} = \text{const}, \quad \forall t > 0.
 \end{aligned}$$

Если явный вид  $u_{2i}(t)$  синтезировать как

$$\begin{aligned}
 u_{2i}(t) & = h_{21i}y_{Fi}(t) \int_0^t y_{Fi}(\varsigma)v_i(\varsigma)\tilde{\delta}_i(\varsigma) d\varsigma + h_{22i}y_{Fi}^2(t)v_i(t)\tilde{\delta}_i(t), \\
 & h_{21i}, h_{22i} = \text{const} > 0, \quad i = 1, 2, \quad (21)
 \end{aligned}$$

то для интеграла  $\eta_{2i}(0, t)$  будем иметь следующую справедливую оценку:

$$\begin{aligned} \eta_{2i}(0, t) &= h_{21i} \int_0^t y_{Fi}(\varsigma) v_i(\varsigma) \int_0^\varsigma y_{Fi}(\zeta) v_i(\zeta) \tilde{\delta}_i(\zeta) d\zeta d\varsigma + \\ &+ h_{22i} \int_0^t y_{Fi}^2(\varsigma) v_i^2(\varsigma) \delta_i(\varsigma) d(\varsigma) + \int_0^t \chi_{*i} y_{Fi}(\varsigma) v(\varsigma) d\varsigma \geq \\ &\geq h_{21i} \delta_{0i} \int_0^t y_{Fi}(\varsigma) v_i(\varsigma) \int_0^\varsigma y_{Fi}(\zeta) v_i(\zeta) d\zeta d\varsigma + h_{22i} \delta_{0i} \int_0^t [y_{Fi}(\varsigma) v_i(\varsigma)]^2 d\varsigma + \chi_{*i} \int_0^t y_{Fi}(\varsigma) v(\varsigma) d\varsigma \geq \\ &\geq \frac{h_{21i} \delta_{0i}}{2} \left( \int_0^t y_{Fi}(\varsigma) v_i(\varsigma) d\varsigma \right)^2 + \chi_{*i} \int_0^t y_{Fi}(\varsigma) v_i(\varsigma) d\varsigma \pm \frac{\chi_{*i}^2}{2h_{21i} \delta_{0i}} \geq \\ &\geq -\frac{\chi_{*i}^2}{2h_{21i} \delta_{0i}} = -\eta_{02i}^2, \quad \eta_{02i} = \text{const}, \quad \forall t > 0. \end{aligned}$$

Составляющую  $u_{3i}(t)$  закона управления (11) синтезируем в виде

$$u_{3i}(t) = h_{31i} \int_0^t v_i(\varsigma) \hat{\delta}_i(\varsigma) d\varsigma + h_{32i} v_i(t) \hat{\delta}_i(t), \quad h_{31i}, h_{32i} = \text{const} > 0, \quad i = 1, 2, \quad (22)$$

и оценим интегральное слагаемое  $\eta_{3i}(0, t)$  как

$$\begin{aligned} \eta_{3i}(0, t) &= h_{31i} \int_0^t v_i(\varsigma) \int_0^\varsigma v_i(\zeta) \tilde{\delta}(\zeta) d\zeta d\varsigma + h_{32i} \int_0^t v_i^2(\varsigma) \tilde{\delta}(\varsigma) d\varsigma + \\ &+ \int_0^t [f_i(\mathbf{x}_i(\varsigma)) + F_i(\mathbf{x}_i(\varsigma), \mathbf{x}_j(\varsigma))] v_i(\varsigma) d\varsigma \pm (f_{0i} + F_{0i}) \left| \int_0^t v_i(\varsigma) d\varsigma \right| \geq \\ &\geq h_{31i} \delta_{0i} \int_0^t v_i(\varsigma) \int_0^\varsigma v_i(\zeta) d\zeta d\varsigma + h_{32i} \delta_{0i} \int_0^t v_i^2(\varsigma) d\varsigma - (f_{0i} + F_{0i}) \left| \int_0^t v_i(\varsigma) d\varsigma \right| \geq \\ &\geq h_{31i} \delta_{0i} \left( \int_0^t v_i(\varsigma) d\varsigma \right)^2 - (f_{0i} + F_{0i}) \left| \int_0^t v_i(\varsigma) d\varsigma \right| \pm \frac{(f_{0i} + F_{0i})^2}{2h_{31i} \delta_{0i}} \geq \\ &\geq -\frac{(f_{0i} + F_{0i})^2}{2h_{31i} \delta_{0i}} = -\eta_{03i}^2 = \text{const}, \quad \forall t > 0. \end{aligned}$$

Таким образом, с учётом полученных оценок для интеграла (18) будет справедливо

$$\eta_i(0, t) \geq \int_0^t [\sigma_i(u_i(\varsigma)) - u_i(\varsigma)]v_i(\varsigma) d\varsigma - \frac{\hat{\chi}_{*i}^2}{2h_{11i}\delta_{0i}} - \frac{\chi_{*i}^2}{2h_{21i}\delta_{0i}} - \frac{(f_{0i} + F_{0i})^2}{2h_{31i}\delta_{0i}},$$

$$\forall t > 0, \quad i = 1, 2. \quad (23)$$

Представим интеграл в правой части (23) в виде соотношения

$$\int_0^t [\sigma_i(u_i(\varsigma)) - u_i(\varsigma)]v_i(\varsigma) d\varsigma =$$

$$= \int_0^{t_*} [\sigma_i(u_i(\varsigma)) - u_i(\varsigma)]v_i(\varsigma) d\varsigma + \int_{t_*}^t [\sigma_i(u_i(\varsigma)) - u_i(\varsigma)]v_i(\varsigma) d\varsigma,$$

где  $t_*$  — момент времени, начиная с которого всегда выполняется условие  $|u_i(t)| \leq \sigma_{0i}$ . В этом случае, как показано, например, в [12], в силу того что при  $t > t_*$  имеет место тождество  $\sigma_i(u_i(t)) = u_i(t)$ , будут справедливы неравенства

$$\left| \int_0^{t_*} [\sigma_i(u_i(\varsigma)) - u_i(\varsigma)]v_i(\varsigma) d\varsigma \right| \leq \eta_{04i}^2, \quad \eta_{04i} = \text{const}, \quad \forall t \in [0, t_*].$$

Тогда для соотношения (23) будет справедлива оценка

$$\eta_i(0, t) \geq -\eta_{04i}^2 - \frac{\hat{\chi}_{*i}^2}{2h_{11i}\delta_{0i}} - \frac{\chi_{*i}^2}{2h_{21i}\delta_{0i}} - \frac{(f_{0i} + F_{0i})^2}{2h_{31i}\delta_{0i}} =$$

$$= -\sum_{d=1}^4 \eta_{0di}^2 = -\eta_{0i}^2 = \text{const}, \quad \forall t > 0, \quad i = 1, 2, \quad (24)$$

не противоречащая справедливости интегрального неравенства (17).

Отметим, что присутствие в основных локальных контурах управления малоинерционных ВФК может привести к пиковым выбросам в переходных процессах, негативно сказывающихся на формировании управляющих воздействий и устойчивости системы. По аналогии с [13] в целях снижения влияния пиков на работу системы ограничим выходы ВФК с помощью элементов типа «насыщение». Закон управления (14) при этом примет вид

$$u_i(t) = \left( h_{11i} \int_0^t \hat{r}_i(\varsigma)v_i(\varsigma)\tilde{\delta}_i(\varsigma) d\varsigma + h_{12i}\hat{r}_i(t)v_i(t)\tilde{\delta}_i(t) \right) \hat{r}_i(t) +$$

$$+ \left( h_{21i} \int_0^t \text{sat}(y_{Fi}(\varsigma))v_i(\varsigma)\tilde{\delta}_i(\varsigma) d\varsigma + h_{22i}\text{sat}(y_{Fi}(t))v_i(t)\tilde{\delta}_i(t) \right) \text{sat}(y_{Fi}(t)) +$$

$$+ h_{31i} \int_0^t v_i(\varsigma)\hat{\delta}_i(\varsigma) d\varsigma + h_{32i}v_i(t)\hat{\delta}_i(t), \quad i = 1, 2;$$



$$\tau_i \frac{d\tilde{\delta}_i(t)}{dt} + \tilde{\delta}_i(t) = \delta_i(t), \quad \tilde{\delta}_i(0) = 0, \quad \delta_i(t) = \begin{cases} 1, & \forall [\sigma_i(u_i(t)) - u_i(t)]v_i(t) \geq 0; \\ \delta_{0i}, & \forall [\sigma_i(u_i(t)) - u_i(t)]v_i(t) < 0. \end{cases} \quad (25)$$

**Вычислительный эксперимент.** Для анализа качества работы синтезированной системы управления рассмотрим задачу управления системой перевёрнутых маятников (см. рис. 1) при следующих параметрах:  $m_1 = 0,44$  кг,  $m_2 = 0,55$  кг,  $l_1 = 0,3$  м,  $l_2 = 0,35$  м,  $b_1 = b_2 = 0,009$ ,  $k = 30$  Н/м,

$$\alpha_1 = \begin{cases} 0,1 \text{ м}, & t \in [0, 1) \text{ с}; \\ 0,3 \text{ м}, & t \in [1, 6] \text{ с}, \end{cases} \quad \alpha_2 = \begin{cases} 0,35 \text{ м}, & t \in [0, 3) \cup [5, 6] \text{ с}; \\ 0,05 \text{ м}, & t \in [3, 5) \text{ с}, \end{cases}$$

$$\sigma_i(u_i(t)) = \begin{cases} 17 \text{ Н} \cdot \text{м}, & u_i(t) > 17 \text{ Н} \cdot \text{м}; \\ u_i(t), & |u_i(t)| \leq 17 \text{ Н} \cdot \text{м}; \\ -17 \text{ Н} \cdot \text{м}, & u_i(t) < -17 \text{ Н} \cdot \text{м}. \end{cases}$$

Требуемые траектории движения маятников сформируем с помощью задающих воздействий

$$r_1(t) = 0,55 \cos(6,28t), \quad r_2(t) = 0,35 \cos(9,42t),$$

начальные положения маятников определим как их вертикальные положения, т. е.  $\mathbf{x}_i(0) = [0, 0]^T$ . Динамику ВФК (10) и ЗФК (15) зададим соотношениями

$$y_{Fi}(t) = \frac{0,05p + 1}{0,001p + 1} y_i(t), \quad \hat{r}(t) = \frac{0,05p + 1}{0,001p + 1} r(t), \quad i = 1, 2.$$

В ходе имитационного моделирования, результаты которого представлены на рис. 2 и 3, в целях увеличения быстродействия системы управления были подобраны постоянные коэффициенты комбинированного регулятора (25) со следующими значениями:

$$h_{11i} = 200, \quad h_{12i} = 250, \quad h_{21i} = 450, \quad h_{22i} = 330, \quad h_{31i} = 500, \quad h_{32i} = 200,$$

$$\tau_i = 0,2, \quad \delta_{0i} = 0,2, \quad i = 1, 2.$$

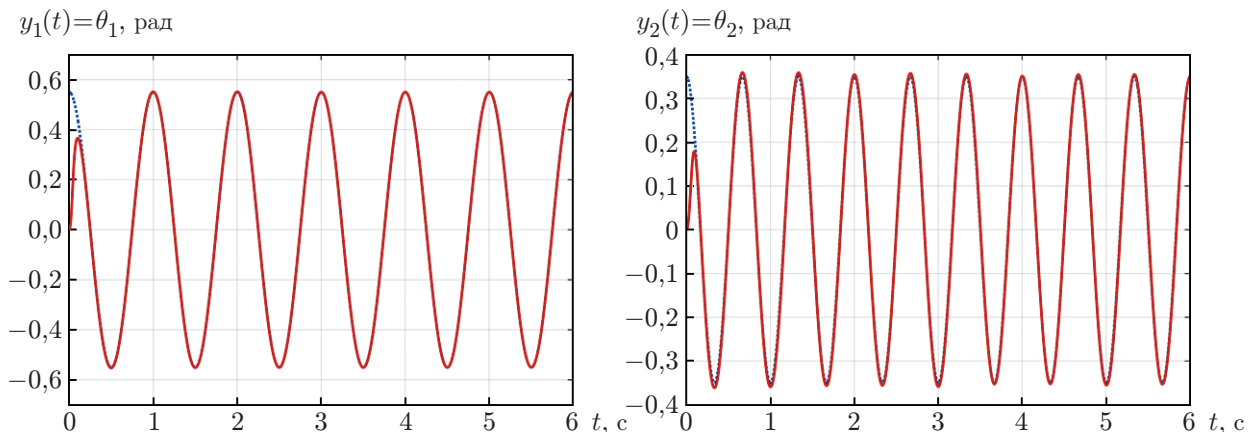


Рис. 2. Требуемые траектории (прерывистые линии) и фактические перемещения (сплошные линии) первого (график слева) и второго (график справа) маятников

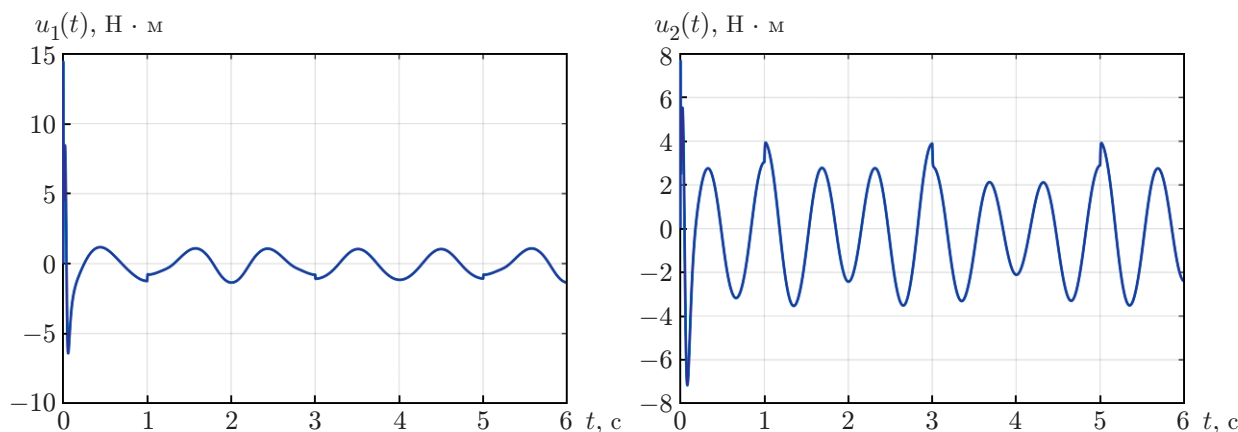


Рис. 3. Управляющие моменты первого (график слева) и второго (график справа) маятников

Полученные динамические характеристики показывают, что предложенная система хорошо обрабатывает задающие воздействия в условиях скачкообразного изменения положения крепления пружины, связывающей маятники (см. рис. 2).

При этом сигналы управляющих моментов (см. рис. 3) являются более качественными в сравнении с управляющими моментами, формируемыми в аналогичной системе, предложенной в [6].

**Заключение.** С помощью критерия гиперустойчивости В. М. Попова, быстродействующих фильтров-корректоров и неявной эталонной модели представлено решение задачи комбинированного нелинейного управления системой перевёрнутых маятников, соединённых пружиной, при ограничении управляющих сигналов и изменении мест крепления упругой связи между маятниками. На этапе вычислительных экспериментов показано достаточно высокое качество функционирования разработанной системы управления. Полученные результаты могут быть использованы при проектировании систем управления манипуляционными роботами, а также систем, объекты управления которых содержат неаффинности по входным воздействиям и имеют запаздывания по состоянию или нейтральному типу.

**Финансирование.** Работа выполнена при поддержке Российского фонда фундаментальных исследований (проект № 20-08-00712).

## СПИСОК ЛИТЕРАТУРЫ

1. Пыркин А. А., Арановский С. В., Бобцов А. А. и др. Управление многоканальными нелинейными системами вида Лурье на основе теоремы Фрадкова // Автоматика и телемеханика. 2018. № 6. С. 140–154.
2. Siljak D. D. Decentralized Control of Complex Systems. San Diego, CA: Academic, 1991. 525 p.
3. Karimi B., Sadeghi M. E. Decentralized adaptive control of large-scale non-affine nonlinear time-delay systems using neural networks // Journ. of Iranian Association of Electrical and Electronics Engineers. 2017. 14, N 4. P. 1–8.
4. Karimi B., Menhaj M. B. Non-affine nonlinear adaptive control of decentralized large-scale systems using neural networks // Inform. Sciences. 2010. N 180. P. 3335–3347.
5. Wei C., Luo J., Yin Z., Wei X. Robust estimation-free decentralized prescribed performance control of nonaffine nonlinear large-scale systems // Int. Journ. Robust Nonlinear Control. 2017. P. 1–23.

6. **Tang Y., Tomizuka M., Guerrero G., Montemayor G.** Decentralized robust control of mechanical systems // IEEE Transactions on Automatic Control. 2000. **45**, N 4. P. 771–776.
7. **He W., Xiao S., Yu S.** Learning control for a robotic manipulator with input saturation // IFAC Proceedings Volumes. 2013. **46**, Iss. 20. P. 74–79.
8. **He W., Dong Y., Sun C.** Adaptive neural impedance control of a robotic manipulator with input saturation // IEEE Trans. on Systems, Man, and Cybernetics: Systems. 2016. **46**, Iss. 3. P. 334–344.
9. **Еремин Е. Л.** Комбинированная система с неявным эталоном для класса априорно неопределённых одноканальных объектов неаффинных по управлению на множестве состояний функционирования // Информатика и системы управления. 2018. № 3. С. 93–103.
10. **Еремин Е. Л., Никифорова Л. В., Шеленок Е. А.** Комбинированная нелинейная система управления с неявным эталоном для априорно неопределённого неаффинного двухканального объекта с запаздываниями по выходу // Информатика и системы управления. 2020. № 1. С. 95–108.
11. **Еремин Е. Л., Шеленок Е. А.** Система нелинейного робастного управления для неаффинного нестационарного динамического объекта с запаздыванием // Автометрия. 2017. **53**, № 2. С. 63–71. DOI: 10.15372/AUT20170207.
12. **Ерёмин Е. Л., Чепак Л. В.** Комбинированный регулятор для неаффинного объекта с запаздыванием по управлению // Автометрия. 2019. **55**, № 6. С. 11–20. DOI: 10.15372/AUT20190602.
13. **Khalil H. K.** Nonlinear Systems. Third Edition. New Jersey: Prentice Hall, 2002. 750 p.

*Поступила в редакцию 25.05.2021*

*После доработки 21.06.2021*

*Принята к публикации 21.06.2021*

---